

横河工務 正員 池田 肇  
 横河橋梁 正員 ○原田康夫  
 横河橋梁 正員 菅 七郎  
 東大大学 学生員 東原 紘道

1. 実験の目的および対象とした系

キャットウォークは水平方向の剛性が非常に小さいため風による変形が大きく、とくにわが国のようにきびしい自然条件のもとでは、これの剛性向上が重要な課題となることは明らかである。そのためにキャットウォークの性状を理論的、実験的に把握する必要があると考え、理論解析と合わせて一連の模型実験を行なった。対象とした系は図1に示されるとおり、キャットウォークとストームケーブルを鉛直なハンガーで結んだもの(MA型)、それを斜めステイで補強したもの(MB型)、およびキャットウォーク、ストームケーブル、斜めハンガーで三角形閉断面を形成したもの(MC型)の三種であり、ストームケーブルはそのライズを大きくとるために支間中央でメインケーブルに直接結合されている。

2. 理論解析

(1) 基本的仮定 中央点を原点に選び、メインケーブルを  $y = y(x)$ 、ストームケーブルを  $y^* = y^*(x)$  で表わす。また  $y - y^* = l$  とし、以下の仮定を設ける。(i)  $l$  の変化は小さい。(ii) 橋軸方向の変位は小さい。この仮定はメインケーブルとストームケーブルが中央点で緊縛されていることに根拠をもっている。

(2) 載荷前の状態 ケーブル反力の  $H$  または  $H^*$  を与えると形態は完全に定まってしまう。(計算式は省略する)

(3) 水平荷重 ( $P$ ) および鉛直荷重 ( $Q$ ) 全載による変形

$$\begin{cases}
 H \frac{d^2 v}{dx^2} = Q + (H^* + h^*) \frac{d^2(l \cos \varphi)}{dx^2} - (h + h^*) \frac{d^2 y}{dx^2} - H^* \frac{d^2 l}{dx^2} \\
 H^* \frac{d^2 w}{dx^2} = -\frac{P}{2} + (H^* + h^*) \frac{d^2(l \sin \varphi)}{dx^2} \\
 \frac{d}{dx} \left[ l^2(x) \frac{dy}{dx} \right] = \left[ \frac{H^* h - H h^*}{(H+h)(H^*+h^*)} \frac{d^2 y}{dx^2} - \frac{H^*}{H^*+h^*} \frac{d^2 l}{dx^2} + \frac{yT}{(H+h)(H^*+h^*)} \sum_{m=1}^{2N-1} \delta(x-m) \right] l \sin \varphi \\
 \quad - \frac{l}{H+h} (P \cos \varphi + Q \sin \varphi)
 \end{cases}$$

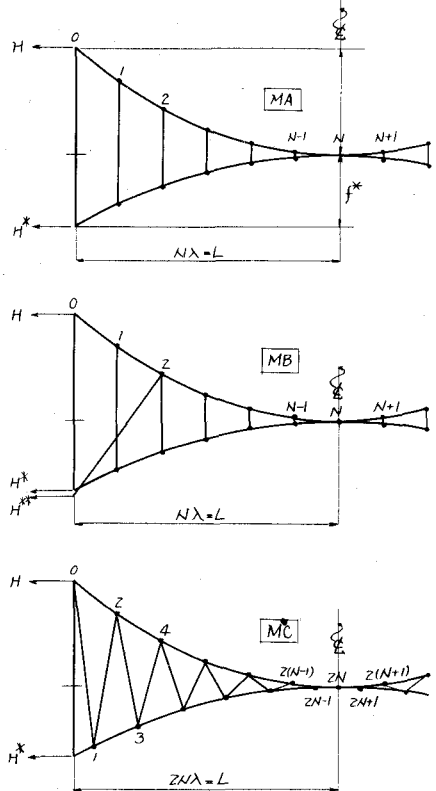


図1 対象とした系

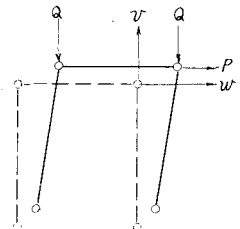


図2 MA型変形状態

$$d = H + H^* + h + h^* \quad h, h^* \text{ は } H, H^* \text{ の増加分}$$

T は変形前のハンガー張力

$$\begin{aligned} \left( \frac{\Delta}{EA} \right) h &= -\frac{1}{4}(Ah - Bh^* + \theta_0^2) + \frac{1}{4} \frac{d^2 \psi}{dx^2} - \frac{H^* + h^*}{2N(H+h)} T_0 + \frac{H^* + h}{N^2(H+h)} U_0 + \frac{(H^* + h)^2}{2N^2(H+h)^2} S_0 \\ \left( \frac{\Delta}{EA} \right) h^* &= -\frac{1}{4}(-Bh + Ch^* + \theta_0^2) + \frac{1}{4} \frac{d^2 \psi}{dx^2} + \frac{H^* + h^*}{2N(H+h)} T_0^* - \frac{1}{N^2} U_0 + \frac{1}{2N^2} S_0 \end{aligned}$$

$T_0, T_0^*, U_0, S_0$  は二次的な伸びによる項であつて、通常はごく小さい。

$$T_0 = (H+h)^2 \int \left( \frac{dy}{dx} \right) \frac{d(L\psi^2)}{dx} dx \quad T_0^* = (H+h)^2 \int \left( \frac{dy^*}{dx} \right) \frac{d(L\psi^2)}{dx} dx$$

$$U_0 = (H+h) \int p(x) \frac{d(L\psi)}{dx} dx \quad S_0 = (H+h)^2 \int \left( \frac{d(L\psi)}{dx} \right)^2 dx$$

(II) M C 型

$$\begin{aligned} d \frac{d^2 v}{dx^2} &= 2Q + (H^* + h_3) \frac{d^2(L \cos \varphi)}{dx^2} - (h_1 + h_2 + h_3) \frac{d^2 y}{dx^2} - H^* \frac{d^2 l}{dx^2} + a(h_1 - h_2) \frac{d^2 \sin \varphi}{dx^2} \\ d \frac{d^2 v}{dx^2} &= -P + (H^* + h_3) \frac{d^2(L \sin \varphi)}{dx^2} - a(h_1 - h_2) \frac{d^2 \cos \varphi}{dx^2} \\ \frac{d}{dx} \left\{ (2H + h_1 + h_2)(H^* + h_3)(L^2(\omega + \alpha^2) + 4a^2(H+h)(H+h_2)) \frac{d\varphi}{dx} \right\} \\ &= 2H \{ a(h_1 - h_2) \cos \varphi - (H^* + h_3) L \sin \varphi \} \frac{d^2 y}{dx^2} - H^* \{ a(h_1 - h_2) \cos \varphi - (2H + h_1 + h_2) L \sin \varphi \} \frac{d^2 y^*}{dx^2} \\ &\quad - P \{ (H^* + h_3) L \cos \varphi - a(h_1 - h_2) \sin \varphi \} - 2Q \{ (H^* + h_3) L \sin \varphi + a(h_1 - h_2) \cos \varphi \} \end{aligned}$$

$d = 2H + H^* + h_1 + h_2 + h_3$   $h_i$  は第  $i$  ケーブル反力の増加分

$$\begin{aligned} \left( \frac{\Delta}{EA} \right) h_1 + \frac{A}{4}(h_1 + h_2) - \frac{B}{4}h_3 &= -\frac{2}{4}\theta_0^2 + \frac{1}{2N^2} \frac{d^2 \psi}{dx^2} + \frac{H^* + h_3}{N^2} U + \frac{(H^* + h_3)^2}{2N^2} S - a\Phi \\ \left( \frac{\Delta}{EA} \right) h_2 + \frac{A}{4}(h_1 + h_2) - \frac{B}{4}h_3 &= -\frac{2}{4}\theta_0^2 + \frac{1}{2N^2} \frac{d^2 \psi}{dx^2} + \frac{H^* + h_3}{N^2} U + \frac{(H^* + h_3)^2}{2N^2} S + a\Phi \\ \left( \frac{\Delta}{EA} \right) h_3 - \frac{B}{4}(h_1 + h_2) + \frac{C}{4}h_3 &= -\frac{2}{4}\theta_0^2 + \frac{1}{2N^2} \frac{d^2 \psi}{dx^2} - \frac{2H + h_1 + h_2}{N^2} U + \frac{(2H + h_1 + h_2)^2}{2N^2} S \\ U &= \int p(x) \frac{d(L\psi)}{dx} dx \quad S = \int \left( \frac{d(L\psi)}{dx} \right)^2 dx \quad \Phi = \int \frac{d\varphi}{dx} \frac{dy}{dx} dx \end{aligned}$$

これらも小さい量である。

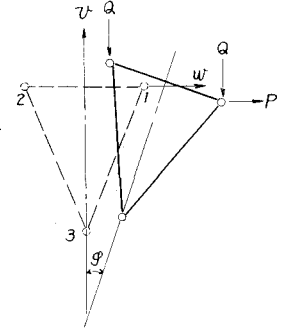


図5 M C 型変形状態

(4) 鉛直荷重 (Q) 半載による変形

$$\begin{aligned} \text{(i) M A 型} \quad \left\{ \begin{aligned} d \frac{d^2 v}{dx^2} &= -h_1 \frac{d^2 y}{dx^2} - h_1^* \frac{d^2 y^*}{dx^2} \quad \dots \dots \dots x < 0 \\ d \frac{d^2 v}{dx^2} &= Q - h_2 \frac{d^2 y}{dx^2} - h_2^* \frac{d^2 y^*}{dx^2} \quad \dots \dots \dots x > 0 \end{aligned} \right. \\ d &= H + H^* + h_1 + h_1^* = H + H^* + h_2 + h_2^* \end{aligned}$$

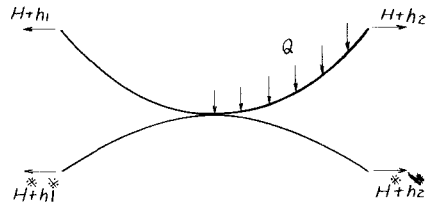


図4 鉛直荷重半載

いま、 $d \cdot v_{center} - h_1 f + h_1^* f^* = \alpha L$  なる  $\alpha$  を用いると

$$\begin{aligned} \left( \frac{\Delta}{EA} \right) h_1 &= -\frac{1}{4}(Ah_1 - Bh_1^* + 2\alpha f) \\ \left( \frac{\Delta}{EA} \right) h_1^* &= -\frac{1}{4}(-Bh_1 + Ch_1^* - 2\alpha f^*) \\ \left( \frac{\Delta}{EA} \right) h_2 &= -\frac{1}{4}(Ah_2 - Bh_2^* + 2\theta_0^2 + 2\alpha f) + f \frac{f + f^*}{L} (h_2 - h_1) \\ \left( \frac{\Delta}{EA} \right) h_2^* &= -\frac{1}{4}(-Bh_2 + Ch_2^* + 2\theta_0^2 - 2\alpha f^*) - f^* \frac{f + f^*}{L} (h_2 - h_1) \end{aligned}$$

(II) M C 型  $H \rightarrow 2H, h_1 \rightarrow 2h_1, h_2 \rightarrow 2h_2, Q \rightarrow 2Q$  の置換によつて(i)の結果をそのまま用いることができる。

(5) ねじり荷重による変形

M C 型の場合にはハンガーにたるみが発生するため、通常の解析は困難である。あらかじめたるむハンガーを想定して解き、その解とはじめの仮定が適合するか否かを検討する必要がある。一方 M A 型においてはハンガーはねじり荷重による変形が容易である。以下では M A 型の結果を紹介する。

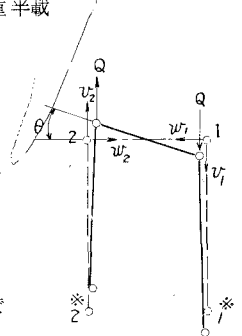


図5 ねじり荷重

$$\begin{aligned} \left\{ \begin{aligned} w_1 &= \frac{Q}{N_1 + N_2} (1 - \cos \theta), & w_2 &= \frac{Q}{N_1 + N_2} (1 - \cos \theta), & d_1 &= H + H^* + h_1 + h_1^*, & d_2 &= H + H^* + h_2 + h_2^* \\ v_1 &= \frac{Q}{N_1 + N_2} \sin \theta + \frac{h_1 + h_2}{N_1 + N_2} (f - y) - \frac{h_1^* + h_2^*}{N_1 + N_2} (f^* + y^*) \end{aligned} \right. \end{aligned}$$

$$\begin{cases} v_2 = \frac{a_1 d_1}{d_1 + d_2} \sin \theta - \frac{h_1 + h_2}{d_1 + d_2} (f - y) + \frac{h_1^* + h_2^*}{d_1 + d_2} (f^* - y) \\ \frac{d^2 \theta}{dx^2} + \alpha \cos \theta = 0, \quad \alpha = \frac{1}{a d_1 d_2} \left\{ Q(d_1 + d_2) - \frac{2}{L} \left[ f(d_1 h_2 - d_2 h_1) + f^*(d_2 h_1 - d_1 h_2) \right] \right\} \end{cases}$$

このままでは  $\alpha$  の大きさは未知であるが、楕円関数を用いた解によれば  $\alpha$  はかなり小さい。

$$\begin{cases} \frac{\Delta}{(EA)} (d_1 h_1 + d_2 h_2) = -(h_1 + h_2) A + (h_1^* + h_2^*) B, & \frac{\Delta}{(EA)} (h_2 - h_1) = \frac{4}{3} \alpha \alpha f L \\ \frac{\Delta^*}{(EA)^*} (d_1 h_1^* + d_2 h_2^*) = (h_1 + h_2) B - (h_1^* + h_2^*) C, & \frac{\Delta^*}{(EA)^*} (h_1^* - h_2^*) = \frac{4}{3} \alpha \alpha f^* L \end{cases}$$

ねじり荷重半載の場合は、(4)に準じて不静定反力の数が8個になるが、方程式の構成は全載の場合と同様になる。

[記号]  $A = \int \left( \frac{dy}{dx} \right)^2 dx, \quad B = -\int \left( \frac{dy}{dx} \right) \left( \frac{dy^*}{dx} \right) dx, \quad C = \int \left( \frac{dy^*}{dx} \right)^2 dx$   
 $P(x) = \sum P_n \left\{ \left( 1 - \frac{n}{2N} \right) - \eta(x - n\lambda) \right\}, \quad Q(x) = \sum Q_n \left\{ \left( 1 - \frac{n}{2N} \right) - \eta(x - n\lambda) \right\}$   
 $O_f = \int \left( \frac{dy}{dx} \right) Q(x) dx, \quad O_f^* = \int \left( \frac{dy^*}{dx} \right) Q(x) dx, \quad \oint = \int P(x) dx$   
 $\Delta, \Delta^*$  はケーブル長,  $(EA), (EA)^*$  はケーブルの伸び剛性

### 3. 模型諸元および実験方法

支間720mのキャットウォークを設計し、模型の縮尺を形状寸法について1/60、力(集中荷重)について1/10000とした。使用材料はつり元用鋼より線(メインケーブルに2×1.3mmφ, E=1.57×10<sup>6</sup>kg; ストームケーブルに2×0.69mmφ, E=1.96×10<sup>6</sup>kg)、真鍮角材および鉛玉(自重相当)である。荷重については水平載荷を基準に考え、実橋に作用する風速を10~40m/Secとして、これに相当する重量の鉛玉を用いた。ストームケーブルに与えるプレテンションはH<sup>\*</sup>=3, 4, 5kg(MCでは6, 8, 10kg)の3種類とした。

表1 模型諸元

2L	主塔間隔	12.000m
f	メインケーブルのサグ	1.067m
f <sup>*</sup>	ストームケーブルのライズ	0.600m
λ	格間距離(MA, MB)	1.300m
	格間距離(MC)	0.500m
b	巾員	0.058m
A	メインケーブル断面積	0.01938cm <sup>2</sup>
A <sup>*</sup>	ストームケーブル断面積	0.004824cm <sup>2</sup>
g	キャットウォーク自重	0.756kg/m
g <sup>*</sup>	ストームケーブル自重	0.0904kg/m

### 4. 結果及び考察

MA型を例にとれば(図7)プレテンションと最大水平変位はほぼ直線的関係にあり、H<sup>\*</sup>=3→5kg(H<sup>\*</sup>+h<sup>\*</sup>は19%増)によつてδ<sub>max</sub>=19.87→17.77cm(10%減)である。施工性、工費を考えればプレテンションの増加(ストームケーブル断面の増加)をはかることは必ずしも得策でない。また風速と変形量については図-8のような関係があり、MB型とMC型には変形量の差がほとんどないと言える。

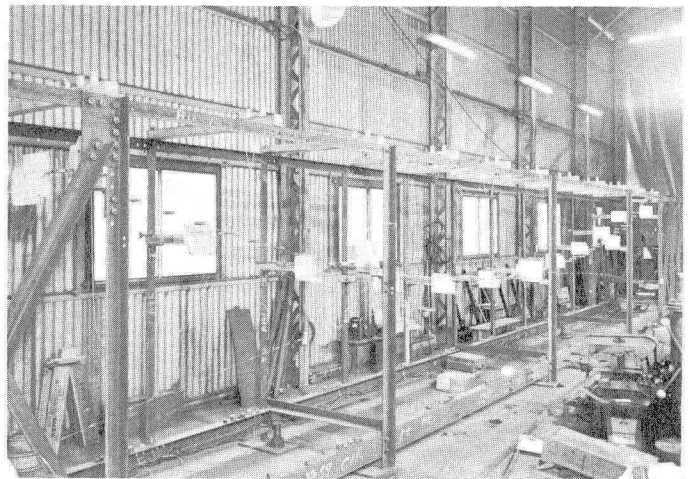
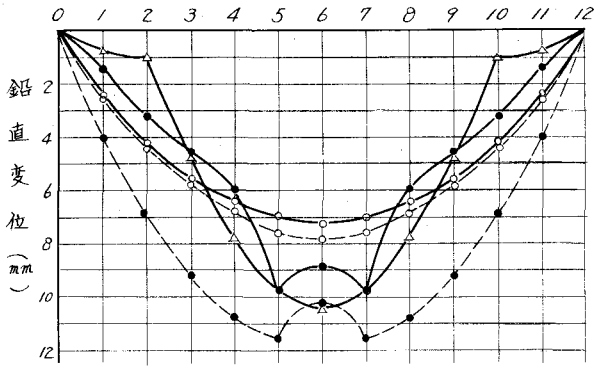
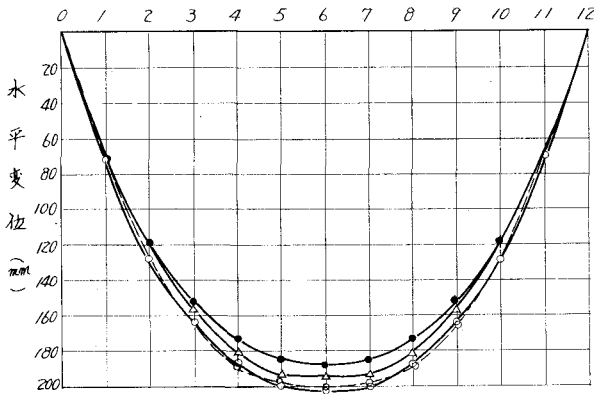


写真 キャットウォークの模型(MC型)



(a) 鉛直荷重全載 ( $Q = 0.200 \text{ kg}$ )



(b) 水平荷重全載 ( $P = 0.462 \text{ kg}$ )



(c) ねじり荷重全載 ( $Q = 0.182 \text{ kg}$ )

— — —	実験値	プレテンション;
- - - - -	計算値	MA, MB H = 3 kg
○	MA型	MC H = 6 kg
△	MB型	
●	MC型	

図6 変形状態

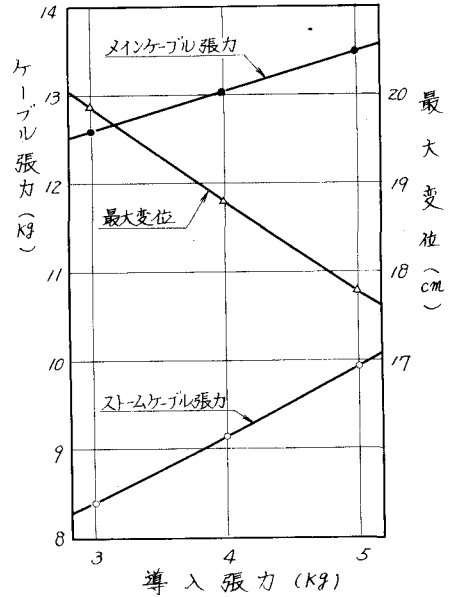


図7 プレテンションと水平変位 (MA)

表2 水平変位の縮尺 (MA,  $H^* = 3 \text{ kg}$ )

荷重	模型変位	実橋変位	縮尺
15m/Sec	4.652cm	2.600m	1/56.0
30	14.295	8.265	1/57.8
40	19.868	12.421	1/62.6

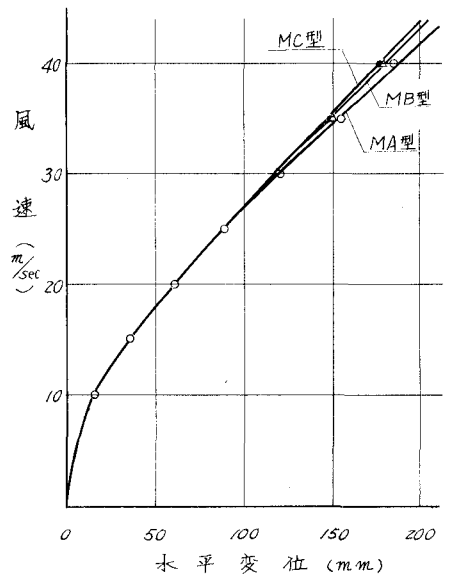


図8 風速と変形の対係